

Б. М. МЕЛИКСЕТЯН

РАДИОГЕОХИМИЧЕСКИЕ ОСОБЕННОСТИ ЩЕЛОЧНЫХ ИНТРУЗИВОВ ЦЕНТРАЛЬНОЙ ЧАСТИ АРМЯНСКОЙ ССР

Особенности распределения в щелочных породах радиоэлементов по сравнению с гранитоидами изучены недостаточно. Принято было считать (А. Е. Ферсман, В. М. Гольдшмит), что массивы нефелиновых и щелочных сиенитов по сравнению с кислыми породами заметно обогащены радиоэлементами. В последнее время появились работы о распределении урана и тория в щелочных породах Ловозерского массива (Т. В. Сапрыкина, 1959; В. И. Герасимовский, 1960; К. А. Власов, М. В. Кузьменко, Е. М. Еськова, 1959), Ишимского комплекса (А. А. Смыслов, 1958), в щелочных породах Урала (Е. М. Еськова, Д. А. Минеев, Н. Г. Минеева, 1962), Северного Тянь-Шаня (Л. Л. Леонова и др., 1961, 1963) и массива Иллимуссак в Гренландии (Соренсен, 1958). В указанных работах высказывается мнение о заметной обогащенности щелочных комплексов ураном, торием и радием. Проведенное нами совместно с М. А. Савченко радиогеохимическое изучение пород сложного Мегринского plutона позволило высказать мнение о заметной обогащенности нефелиновых и щелочных сиенитов по сравнению с гранитоидами как ураном, так и торием (Меликсетян, 1961).

С целью дальнейшего обсуждения этого вопроса автором проведены радиогеохимические исследования щелочных интрузий центральной Армении, являющихся типичными представителями базальт-фонолитовой серии.

Краткая характеристика щелочных интрузивов

Щелочные интрузии центральной части Армянской ССР приурочены к бортовой части Севано-Ширакского палеогенового геосинклинального прогиба, входящего в складчатую зону Центральной Армении. Они представлены Тежсарским вулканогенно-интрузивным комплексом, Амзачиманской, Бундуцкой, Гарнисарской, Ачаджурской интрузиями щелочных и субщелочных пород. Геология, строению, петрографии этих интрузивов посвящены специальные работы В. Н. Котляра (1958), Г. П. Багдасаряна (1962, 1966), поэтому здесь мы лишь вкратце осветим геолого-петрографические особенности этих массивов.

В отличие от представлений предыдущих исследователей в истории развития магматизма Севано-Ширакского синклиниория автор данной статьи формирование калиевой щелочно-сиенитовой формации приурочивает ко времени вступления области в орогенный этап развития на границе верхнего эоцена—олигоцена и объединяет щелочно-сиенитовые и субщелочные гранитоидные интрузивы Памбака в единый раннеорогенный верхнеэоцен-позднеолигоценовый многофазный щелочный комплекс.

В структурном отношении он контролируется зоной сопряжения Анкавано-Сюникского глубинного разлома СЗ простирации с поперечным Уляшинским разломом на границе с жестким блоком Цахкуняцкого горст-антеклиниория, сложенного древними ($PC_m - Pz_1?$) метаморфическими породами.

Тексарский эфузивно-интрузивный комплекс является собой яркий пример интрузий центрального типа. Он имеет в плане эллиптическую форму, площадью более 60 кв. км, и сложен следующими кольцевыми и неполикольцевыми структурными элементами: 1) внешней подковообразной конической интрузией щелочных сиенитов; 2) неполикольцевыми дайками лейцитовых фонолит-порфиров; 3) внутрикольцевым барьером, сложенным центральными вулканическими породами; 4) центральным штоком псевдолейцитовых, нефелиновых и щелочных сиенитов; 5) периферическим штоком поздних субщелочных гранитоидов.

Проведенными исследованиями установлено, что возникновение кольцевых и конических структур (сходящихся на глубине 6–8 км в фокусах магматического резервуара) обязано кальдерообразному проседанию крупного вулкана центрального типа и последовательному внедрению, вслед за завершением эксплозивной фазы, кольцевых даек лейцитовых фонолит-порфиров, а после некоторого перерыва—центрального штока—затем конической и сателлитовых интрузий щелочных и субщелочных сиенитов и в конце—трещинной интрузии порфировидных кварцевых сиенитов и граносиенитов.

Центральные вулканические породы слагают толщу, мощностью около 600 м, отделяющую центральный шток от конической интрузии. Вулканогенная толща имеет асимметрично-мульдообразное залегание под углом 30–45° и сложена, по Г. П. Багдасаряну (1962), тремя равными по мощности свитами: а) трахиандезитовой; б) трахитовой и в) фонолитовой. В составе указанных свит преобладают вулканические брекчи, лавобрекчи и агломераты, а лавовые разности и дайки играют подчиненную роль. Субвулканические образования представлены редкими дайками базальтов, тефритов, бостонитов и лампрофиров, а также крупными дайками лейцитовых фонолит-порфиров.

Центральный интрузив имеет концентрически-ゾональное строение—от псевдолейцитовых сиенитов по периферии через нефелиновые к щелочным сиенитам во внутренних участках. Здесь же развиты небольшие штоки пордмарктитов. В пределах центрального штока широким развитием пользуются довольно редкие типы щелочных пород: эндоконтактовые гибридные, меланитовые, сферовые, флюоритовые, анальцимовые, цеолитовые, канкринитовые, содалитовые, нефелиновые сиениты, а также жильная серия, представленная нефелин-сиенитовыми порфирами, нефелиновыми и альбититовыми аплитами, псевдолейцитовыми тингуантами, сельвергитами и керсантитами. Среди пегматитов выделяются полевошпатовые и фельдшпатоидные. Щелочные гидротермалиты представлены флюорит-биотитовыми брекчированными породами, а метасоматиты—мусковитизированными и альбитизированными нефелиновыми сиенитами.

Конический подковообразный интрузив представлен нефелинсодержащими щелочными, субщелочными сиенитами, реже монционитами и кварцевыми сиенитами, имеющими совершенно постепенные взаимопереходы. Архшанская сателлитовая интрузия прорывается порфировидными граносиенитами (Б. Меликсян, Р. Геворкян, 1963).

Бундукский и Ачаджурский сателлитовые интрузивы имеют вытянутую дайкообразную форму и представлены двумя субфазами: а) субщелочными амфибол-биотитовыми сиенитами, монционитами и эндоконтактовыми габбро-сиенитами; б) лейкораковыми розовыми сиенитами. Для интрузивов характерны явления гибридизма и сиенитизации вмещающих среднезоценовых андезитовых порфиритов. По данным Р. Г. Геворкяна (1965) Бундукская интрузия прорывается дайками Гарнарской интрузии щелочных трахитов (арменитов).

Гарнисарская пластовая интрузия представлена однородными щелочными трахитами (иногда анальцимовыми и цеолитовыми разностями), переходящими от периферии тела к центру в среднезернистые типичные щелочные сиениты.

Амзачиманская и Фиолетовская интрузии порфировидных субщелочных гранитов являются заключительной фазой верхнезоцен-нижнеолигоценового комплекса. Представлены периферическим штоком со сравнительно однообразными порфировидными, миаролитовыми граносиенитами, среди которых, особенно в эндоконтактах,

развиты эвлиты, аплит-пегматиты и пегматиты нескольких генераций. Характерной особенностью интрузивов является присутствие в породах значительного количества в различной степени переработанных ксенолитов.

Для химизма Тежсарского вулкано-плутонического комплекса характерны: заметная недосыщенность кремнеземом, пересыщенность глиноzemом, при повышенной, особенно калиево-щелочности ($\text{Na}_2\text{O} : \text{K}_2\text{O} = 1,1 - 2$), высокой железистости ($\text{FeO} : \text{MgO} > 2 - 5$) и несколько повышенной известковистости ($\text{CaO} > \text{MgO}$). В целом щелочно-специальная интрузивная формация Памбака относится к нормальному ряду с коэффициентом аглантности, равным 0,7—0,85 (миаскитовый тип), а в генетическом аспекте к типичным вулкано-плутоническим ассоциациям, производным щелочной оливин-базальтовой магмы. В ходе эволюции первичной щелочной оливин-базальтовой магмы, особенно в конечной стадии, значительная роль принадлежит процессам взаимодействия с породами гранито-метаморфического субстрата и карбонатными породами мела. Особенностью эволюции базальт-фонолитовой серии Памбака является непрерывное возрастание кремнекислоты как в вулканический этап (49,0—55%), так и в интрузивный (55—68%) с соответственным понижением степени недосыщенности кремнеземом (Q от $-10 : 20$ до $+10 : 20$). Параллельно с возрастанием в ходе дифференциации SiO_2 щелочность достигает максимума к концу вулканического этапа, а в интрузивный — она понижается, причем темпы понижения Na_2O более высокие, чем K_2O . На фиг. 1 показано поведение K_2O , Na_2O , SiO_2 и CaO в зависимости от индекса дифференциации (параметр Q , А. Н. Заварцкого) и возрастания общей кремнекислотности в ходе эволюции Памбакского щелочного комплекса.

Особенности распределения радиоэлементов в щелочных эффузивных и интрузивных породах

Как известно, в магматическом процессе геохимическая судьба урана и тория определяется поведением щелочей и летучих, имеет много общих черт и тесно связана с поведением иттрия и редких земель.

Для выяснения геохимии урана, тория и радия мы располагали более 130 люминесцентными определениями урана, 65 химическими определениями тория и 10 определениями радия и химическими анализами суммы редких земель и иттрия. Анализировались как разности щелочных пород, так и минералы, отобранные из главных типов пород и пегматитов. Анализы выполнялись в лабораториях УГ СМ Арм. ССР (зав. лабораторией Н. Атонян).

В табл. 1 и 2 приведены данные по распределению урана, тория и радия в щелочных породах Тежсарского комплекса. Рассмотрим распределение элементов в различных возрастных группах щелочных пород.

Средние содержания радиоэлементов в целом по Тежсарскому комплексу составляют: уран — $3,75 \cdot 10^{-4}$, торий — $2,75 \cdot 10^{-3}$ и радий $1,2 \cdot 10^{-9}\%$. По сравнению с кларком в кислых породах щелочные породы Тежсарского комплекса в 1,5 раза обогащены ураном ($2,5 \cdot 10^{-4}\%$) и торием ($1,8 \cdot 10^{-4}\%$) и в 10 раз радием — $1,2 \cdot 10^{-10}\%$ (Виноградов, 1962).

Концентрации радиоэлементов по сравнению с кларками изверженных пород обогащены в еще большей степени. По данным Еськовой (1962), щелочные породы Урала содержат несколько меньше урана — $3,2 - 4 \cdot 10^{-4}\%$ и тория $7 - 19 \cdot 10^{-4}\%$.

Мегринские щелочные породы более обогащены ураном — $5,6 \cdot 10^{-4}\%$, чем торием — $2,5 \cdot 10^{-3}\%$. Это видно по различному торий-урановому отношению: Мегри — 4,5, Тежсар — 7,5.

Эффузивный щелочной комплекс

Щелочно-базальт-лейцит-фонолитовая серия характеризуется несколько повышенной радиоактивностью. Среднее содержание урана— $2,75 \cdot 10^{-4}\%$, тория— $1,75 \cdot 10^{-3}\%$ при торий-урановом отношении, равном 6,5. От калиевых базальтов и трахиандезитов и их туфо- и лавобрекчий к трахитам и эпилейцитовым фонолит-порфирам потоков и даек возрастает содержание урана ($3-4 \cdot 10^{-4}\%$) и тория ($2-3 \cdot 10^{-3}\%$) и понижается торий-урановое отношение (от 10—6 до 5). По сравнению с другими разностями эффузивов трахиты и фонолиты с вкрапленниками калишпата и флюорита и эпилейцитовые сиенит-порфиры даек более радиоактивны.

Конический интрузив

Коническая интрузия характеризуется несколько более высокой радиоактивностью, обусловленной заметным увеличением содержания тория. Так, среднее содержание урана в щелочных сиенитах и жильных дифференциатах такое же, что и в эффузивном комплексе $2,75 \cdot 10^{-4}\%$, а содержание тория возрастает в 1,5 раза— $2,25 \cdot 10^{-3}\%$ при колебании содержаний от 2 до $4 \cdot 10^{-3}\%$. Резко возрастает и Th/U отношение (11,0). По сравнению с материнскими породами микросиениты и полевошпатовые жилы несколько обогащены как торием, так и ураном.

Центральный интрузив

Центральный интрузив, как указывалось, характеризуется концентрически-зональным расположением отдельных разновидностей щелочных пород. Средняя часть массива сложена щелочными сиенитами, а периферические—нефелиновыми сиенитами, сменяющимися непосредственно в эндоконтактовой зоне псевдолейцитовыми и обогащенными нефелином сиенитами с участками сиенитизации.

Щелочные сиениты характеризуются изменчивым содержанием урана и тория. Среднее содержание урана— $4,5 \cdot 10^{-4}\%$ (при колебании от 2 до $6 \cdot 10^{-4}\%$), тория— $2,5 \cdot 10^{-4}\%$ (от 1 до $4 \cdot 10^{-3}\%$). Характерно довольно низкое торий-урановое отношение—5,5. Содержание радия довольно высокое— $1,35 \cdot 10^{-8}\%$. Относительная концентрация радиоэлементов, выражаясь отношением Th : U : Ra равна $2,3 \cdot 10^6 : 3,3 \cdot 10^5 : 1$; отношение Ra : U равно $0,3 \cdot 10^{-8}$, что указывает на радиоактивное равновесие продуктов распада урана. Как видно из табл. 1, альбитизированные и среднезернистые разности щелочных сиенитов обогащены радиоэлементами в большей степени, чем крупнокристаллические.

Нефелиновые сиениты по сравнению с щелочными сиенитами характеризуются более высокой щелочностью, особенно натровой. В них отмечается некоторое понижение содержания урана до $4 \cdot 10^{-4}\%$ и увеличение концентрации тория $3 \cdot 10^{-3}$ (в пределах от 2 до $5 \cdot 10^{-3}\%$). Торий-урановое отношение возрастает в среднем до 7,5, колебляясь в широких пределах от 25 до 2. Среднее содержание радия здесь несколько ниже $1,0 \cdot 10^{-8}\%$. Отношение Ra : U составляет $0,25 \cdot 10^{-8}\%$. Концентрация урана в нефелиновых сиенитах возрастает в тех разностях, которые подверглись автометасоматическим изменениям. В содалитизированных, канкринитизированных и анальцимовых сиенитах урана всегда больше ($3-4 \cdot 10^{-4}\%$), чем в нормальных ($2 \cdot 10^{-4}\%$), причем максимальной концентрации он достигает в альбитизированных ($1,8 \cdot 10^{-3}\%$).

Таблица 1

Содержание урана и тория в щелочных породах и субщелочных гранитоидах
Центральной части Армянской ССР

	1	2	Код-но ана-лизы	Содержание в %		Отношение Th/U
				U · 10 ⁻⁴	Th · 10 ⁻³	
		Разновидности пород				
T-611		Калий-базальт	1	1	1	10,0
T-17		Щелочной трахиандезит	1	2	1	5,0
T-7a		Щелочной трахит	1	3	2	6,7
T-16		Эпилейцитовый фонолит-порфир	1	4	3	7,5
T-22		Эпилейцитовый сиенит-порфир (дайка)	1	3,5	2	5,5
		Среднее из 4 анализов	5	2,75 · 10 ⁻⁴	1,75 · 10 ⁻³	6,5
		Конический щелочной интрузив				
T-18		Щелочной сиенит	1	2	1	5,0
T-8		Нефелиновый сиенит	1	3	2	
T-9		Пегматит полевошпатовый	1	2	3	15,0
T-49		Щелочной микросиенит	1	3	4	13,3
		Среднее из	4	2,5 · 10 ⁻⁴	2,25 · 10 ⁻³	11,0
		Центральный интрузив				
		а) П о р о д ы				
T-206		Сиенитизированный порфир	1	8	8	10,0
T-11		Гибридная пятнистая порода	2	4	2	5,0
T-20		Щелочной сиенит, среднезернистый	1	6	4	6,6
T-20m		Щелочной сиенит, крупнозернистый	1	2	1	5,0
T-2		Щелочной сиенит, альбитизированный	1	6	1,5	2,5
			6	4,5 · 10 ⁻⁴	2,5 · 10 ⁻³	5,5
T-26		Нефелиновый сиенит нормальный	2	2	5	25,0
T-19		Нефелиновый сиенит пегматоидный	4	2	3	15,0
T-26m		Нефелиновый сиенит альбитизированный	1	12	2	1,8
T-8		Нефелиновый сиенит среднезернистый	2	3	1	3,3
			9	4,0 · 10 ⁻⁴	2,8 · 10 ⁻³	7,5
T-34		Канкринитовый нефелиновый сиенит	1	2	2	10,0
T-35		Содалитовый нефелиновый сиенит	1	4	4	10,0
T-36		Анальцимовый нефелиновый сиенит	1	3	3	10,0
T-3		Псевдолейцитовый нефелиновый сиенит	2	3	2,5	8,1
T-35m		Псевдолейцитовый сиенит	1	7	4	5,7
T-5-25		Богатый нефелином сиенит	5	3,5	2,5	7,1
T-24		Сфеновый нефелиновый сиенит	1	12	8	6,7
T-1		Меланитизированный нефелиновый сиенит	1	8	8	10,0
T-37		Нордмаркиты и кварцевые сиениты	2	2,5	2,5	6,0
			15	4,5 · 10 ⁻⁴	3,5 · 10 ⁻³	7,4
		б) Жильные микросиениты				
T-12		Аплитовый серый альбитит	1	6	2	3,7
T-7		Щелочный лейкократовый микросиенит	1	2	1	5,0
T-15		Нефелиновый лейкократовый сиенит	1	3	3	10,0
			3	4,0 · 10 ⁻⁴	2,0 · 10 ⁻³	6,5

1	2	3	4	5	6
T-14	в) Пегматиты				
T-10	Безнефелиновый пегматит	5	3,5	5,5	15,7
T-30	Амфибол-меланитовый пегматит	2	4	4	10,0
T-32	Нефелиновый пегматит с содалитом	5	5	7	14,0
	Альбитизированный пегматит	6	8	9	11,3
	Среднее из	18	$5,5 \cdot 10^{-4}$	$7 \cdot 10^{-3}$	13,0
	г) Измененные породы				
T-33	Флюорит-биотитовая порода	1	12	15	12,5
T-33м	Флюорит-биотит-альбитовая порода	1	25	9	3,6
T-201	Гидротермально измененный сиенит	1	17	4	2,3
	Мусковитизированный сиенит	2	8	4	5,0
	Среднее из	5	$15 \cdot 10^{-4}$	$7 \cdot 10^{-3}$	5,5
7-27	Дайка меланократового монцонита	1	2	3	15,0
	Бундукский интрузив				
B-79	Среднезернистый сиенит	2	3	4	13,3
B-82	Амфибол-биотитовый сиенит	1	1	1	10,0
B-83	Биотитовый щелочной сиенит	1	3	2	6,6
B-80	Щелочного сиенит крупнозернистый	1	1	1	10,0
B-81	Пегматоидный лейкосиенит	1	6	3	5,0
B-85	Эндоконтактовый монцонит	2	2	1	5,0
B-86	Альбитизированный пегматит	2	7	6	8,6
	Среднее из	12	$3 \cdot 10^{-4}$	$2,5 \cdot 10^{-4}$	8,3
	Гарнасарский массив				
G-131	Щелочной трахит, мелкозернистый	2	1	1	10,0
G-211	Щелочного сиенит среднезернистый	1	2	1	5,0
	Среднее из	3	$1,5 \cdot 10^{-4}$	$1 \cdot 10^{-3}$	7,0
	Ачаджурский интрузив				
A-133	Щелочного сиенит, пегматоидный	2	1	1	10,0
	Амзачиманский интрузив				
G-70	Порфировидный граносиенит	8	2	1	5,0
G-57	Порфировидный гранит, альбитизированный	1	15	4	2,7
G-61	Среднезернистый кварцевый сиенит	2	2	2	10,0
G-68	Гранодиорит, эндоконтактовый	1	6	3	5,0
G-63	Миаролитовый гранит	1	9	2	2,2
G-74	Контаминированный гранит	1	1	1	10,0
G-60	Гранит-порфир, дайка	1	1	1	10,0
G-59	Лампрофир керсантитового состава	1	1	1	10,0
G-72	Пегматит, зональный	4	$1,5 \cdot 10^{-4}$	2	13,0
G-52	Аплит-пегматит	2	1	2	20,0
G-54	Аплит, жильный	3	1	1	10,0
	Среднее из	25	$2,5 \cdot 10^{-4}$	1,5	6,0

Примечание. Содержание урана приведено по данным двухкратных люминесцентных анализов. Точность $\pm 10-20\%$. Чувствительность $1.10^{-4}\%$. Торий определялся химическим весовым методом. Точность 5—10%. Чувствительность 0,001%.

Торий проявляет прямо противоположную тенденцию, возрастаю от автометасоматически измененных разностей нефелиновых сиенитов к свежим нормальным (от $1-3 \cdot 10^{-3}$ до $4-5 \cdot 10^{-3}\%$). В этом же направлении резко возрастает торий-урановое отношение от 3–10 до 15–25 и изменяется радий-урановое отношение. Некоторое обогащение ураном метасоматически слабо измененных сиенитов связано с переотложением легкомигрирующих соединений урана вместе с летучими кислотными компонентами, производящими указанные автометасоматические изменения.

Разности, обогащенные нефелином, характеризуются тем же порядком величин содержания радиоэлементов и торий-уранового отношения (табл. 1).

Меланитовые и сфееновые нефелиновые сиениты реже флюоритовые разности, образуют обособленные участки, иногда линейно вытянутые в СВ направлении зоны в периферических частях щелочного комплекса. Нередко наблюдаются участки, одновременно обогащенные как сфееном (3–10%), так и меланитом (5–20%). Среднее содержание в сфеен-меланитовых сиенитах урана— $1.0 \cdot 10^{-3}\%$, тория— $8 \cdot 10^{-3}\%$, т. е. примерно в 2–3 раза выше, чем в нормальных сиенитах. Содержание совместно с ураном и торием высоких концентраций ниобия и редких земель в этих породах заслуживает внимания. Торий-урановое отношение высокое и варьирует от 6 до 10.

Псевдолейцитовые сиениты в отличие от нефелиновых сиенитов характеризуются высокой суммой щелочей, но при резком преобладании калия. Эти особенности химизма пород и приуроченность указанных фаций к эндоконтакту центрального штока обусловливают заметно повышенное здесь содержание урана— $5 \cdot 10^{-4}\%$ (пределы колебания $3.5-7.0 \cdot 10^{-4}\%$) и тория— $3.25 \cdot 10^{-3}\%$ (пределы колебания $2.5-4 \cdot 10^{-3}\%$). Характерно сравнительно низкое торий-урановое отношение—6,5. Необходимо отметить, что высокое содержание урана и тория в эндоконтактовых зонах свидетельствует о некотором перемещении радиоэлементов совместно с летучими в участки с пониженным давлением.

Гибридные эндоконтактовые породы как и псевдолейцитовые сиениты, с которыми они связаны постепенными взаимопереходами, характеризуются повышенным содержанием урана— $4-8 \cdot 10^{-4}\%$, тория— $2-8 \cdot 10^{-3}\%$ и невысоким торий-урановым отношением, равным 5–10.

Кварцсодержащие сиениты и нордмаркиты по низкому содержанию урана и тория резко выделяются среди щелочных пород Тексарского щелочного комплекса. Среднее содержание урана $2.5 \cdot 10^{-4}\%$, тория— $1.5 \cdot 10^{-3}\%$, что примерно в 1,5–2 раза ниже среднего содержания по щелочному комплексу. Небезынтересно отметить, что близкие к ним порфировидные граносиениты Амзачиманского массива также характеризуются низкими содержаниями урана— $1-2 \cdot 10^{-4}\%$ и тория— $1.5-1 \cdot 10^{-3}\%$ и меньшим торий-урановым отношением—5–6.

Жильные лейкократовые микросиениты в зависимости от состава характеризуются различными концентрациями урана и тория. Так, содержание урана в них варьирует от $2 \cdot 10^{-4}\%$ до $6 \cdot 10^{-4}\%$, а тория от 1 до $3 \cdot 10^{-3}\%$. Средние содержания в микросиенитах—урана $3.5 \cdot 10^{-4}\%$, тория $2 \cdot 10^{-3}\%$ при отношении $\text{Th}/\text{U}=5.7$. Среди жильных сиенитов более обогащены микроэлементами аплитовые альбититы.

Пегматиты выделяются среди всех разностей щелочных пород повышенным содержанием урана и тория. Пределы колебания урана в пегматитах— $3.5-8 \cdot 10^{-4}\%$, тория $4-10 \cdot 10^{-3}\%$.

Пегматиты характеризуются наиболее высоким содержанием тория (до 0,01%) и максимальным торий-урановым отношением—12 (пределы 10—25). Преимущественное накопление тория в щелочных пегматитах Тежсарского комплекса является необычным и весьма характерным. Радиохимические исследования в Мегринском plutоне показали четко выраженную тенденцию к накоплению урана в пегматитах, характеризующихся очень низким торий-урановым отношением—2—4 (Меликсетян, 1961).

Исследованиями щелочных пегматитов Тежсара установлено, что главная масса тория выделяется в виде акцессорного торита и торианита, а уран рассеивается в ториевых и кальциевых акцессориях. Среди щелочных пегматитов сложно-замещенные альбитизированные разности характеризуются высоким содержанием как урана ($8 \cdot 10^{-4}\%$), так и тория ($9 \cdot 10^{-3}\%$). Причем, как правило, безнефелиновые пегматиты по сравнению с нефелиновыми обогащаются ураном в несколько большей степени, чем торием.

Щелочные гидротермалиты и метасоматиты как по содержанию урана, так и по содержанию тория характеризуются исключительно высокими содержаниями, превышающими средние содержания радиоэлементов в Тежсарском комплексе примерно в 5—10 раз.

Наибольший интерес представляют: а) мусковитизированные, альбитизированные сиениты в виде зон и полос, характеризующиеся присутствием $8 \cdot 10^{-3}\%$ урана и $4 \cdot 10^{-3}\%$ тория при $\text{Th}/\text{U}=5$; б) флюорит-биотитизированные, часто брекчиированные сиениты и зоны, содержащие в среднем $1,8 \cdot 10^{-3}\%$ урана и $9,0 \cdot 10^{-3}\%$ тория с Th/U -отношением, равным 5.

Поздние меланократовые дайки монцонитов и керсанитов характеризуются наименьшими содержаниями урана ($2 \cdot 10^{-4}\%$) и тория ($3 \cdot 10^{-3}\%$) при довольно высоком торий-урановом отношении—15.

Таким образом, в распределении радиоэлементов в Центральном штоке наблюдаются элементы горизонтальной зональности, причем от центра к периферии отмечается примерно двукратное обогащение ураном и торием при некотором возрастании торий-уранового отношения.

Субщелочные сиениты Бундуцкого интрузива

Сателлитовая интрузия Тежсарского комплекса является, вероятно, более поздней субфазой и характеризуется радиоактивностью, близкой к коническому интрузиву, но более низкой, чем породы центрального штока. Среднее содержание по интрузиву составляет: урана— $3 \cdot 10^{-4}\%$, Th— $2,5 \cdot 10^{-3}\%$ при довольно высоком Th/U -отношении—8,3. Среднезернистые и биотитовые субщелочные сиениты в 2—3 раза и более обогащены радиоэлементами, чем крупнозернистые амфибол-биотитовые сиениты. Наиболее обогащены розовые пегматоидные лейкосиениты, являющиеся поздней дополнительной инъекцией ($\text{U}=6 \cdot 10^{-4}\%$, Th— $3 \cdot 10^{-4}\%$) и содержащие ураноторит и давидит.

Как всегда, альбитизированные сиениты и пегматиты имеют высокий радиохимический фон ($\text{U}=7 \cdot 10^{-4}\%$, Th— $6 \cdot 10^{-3}\%$) и низкое торий-урановое отношение (5,0).

Гарнисарский и Ачаджурский интрузивы

Указанные массивы характеризуются довольно однообразным составом, сравнительно пониженной щелочностью, весьма обогащены радиоэлементами ($\text{U}=1—2 \cdot 10^{-4}\%$ Th— $1 \cdot 10^{-3}\%$) и имеют высокое торий-урановое отношение—7,0—10,0.

Субщелочные граниты Амзачиманского массива

Порфириовидные граносиениты и граниты Амзачиманского массива являются завершающей фазой Памбакского щелочного комплекса. В целом интрузив характеризуется пониженным содержанием радиоэлементов и в преобладающем большинстве проб содержание их варьирует в пределах уран— $1-2 \cdot 10^{-4}\%$, торий— $1-2 \cdot 10^{-3}\%$. Однако отдельные разновидности пород, характеризующиеся слабой контаминациейностью ксенолитами, миароловой текстурой, заметным обогащением кварцем и, как правило, альбитизированные, содержат довольно высокие концентрации радиоэлементов ($U=6-15 \cdot 10^{-4}\%$, $Th=3-4 \cdot 10^{-3}\%$), так как в этих разностях встречаются акцессорный ортит, торит и циртолит. Однако в общем балансе роль их невелика. Жильные породы аплитового и пегматитового облика хотя заметно и обогащены ортитом, но по содержанию радиоэлементов не отличаются от пород: уран ($1-2 \cdot 10^{-4}\%$), торий ($1-2 \cdot 10^{-3}\%$). Весьма интересным является тот факт, что ортит из граносиенитов очень резко обеднен U и Th по сравнению с ортитом щелочных пород.

Для субщелочных гранитов характерно в целом высокое торий-урановое отношение, достигающее 10—20, однако в среднем оно составляет 6,0. В направлении к контакту с щелочным комплексом концентрация радиоэлементов возрастает.

Как указывалось, щелочные породы Памбака превышают по концентрации радиоэлементов кларки кислых пород (табл. 2). Интересно, конечно, сравнить содержание урана и тория в Тежсарском комплексе и в щелочных комплексах других регионов. По содержанию урана вулканические породы Памбака очень близки к аналогичным породам юга Сибирской платформы (Т. В. Билибина, В. К. Титов, 1968), в то время как торием они вдвое обогащены. Нефелиновые и щелочные сиениты Памбака почти в 4 раза беднее радиоэлементами чем агпайтовые щелочные породы Ловозера (Сапрыкина, 1959); содержание тех же элементов по сравнению с Ишимскими (Смыслов, 1958) и Вишневогорским массивами (Еськова и др., 1962) вдвое меньше. Как по содержанию урана, так особенно по торию рассматриваемый щелочный комплекс несколько более обогащен радиоэлементами, чем Ильменогорский (Еськова, 1962), Бердяуш (Комлев, 1949), юг Сибирской платформы (Билибина, Титов, 1968), Восточная Тува (Абрамович, 1959) и др.

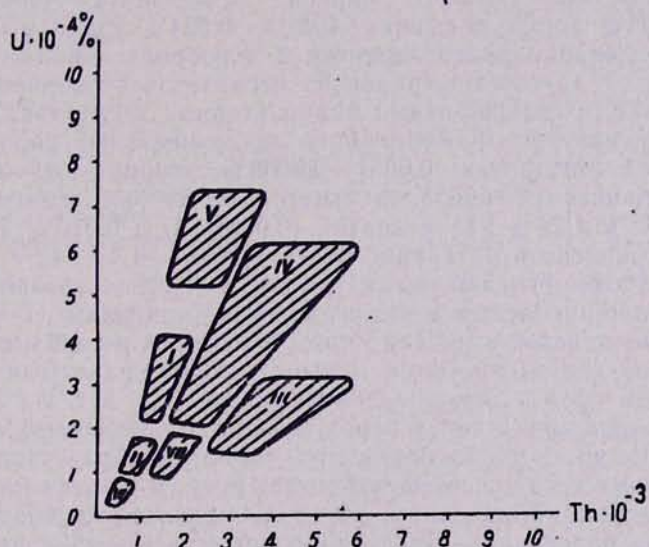
Привлекает внимание высокое торий-урановое отношение Тежсарского комплекса в целом ($Th/U=7,5$), которое в 2,5 раза выше среднего отношения этих элементов в земной коре и большинства указанных щелочных комплексов (1,5—4,5) и близко к Ишиму (7,2). Тежсарский комплекс щелочно-базальтоидной серии относится к категории типов средней радиоактивности, при несколько повышенной их ториеносности.

Л. В. Комлев (1936), подводя итоги многолетних исследований по изучению среднего содержания урана и тория в гранитных массивах СССР, выделил пять основных типов. Однако, как нам представляется, эта диаграмма пригодна и для классификации щелочных комплексов. Так, щелочные породы Тежсара относятся ко второму типу Л. В. Комлева, для которых характерно повышенное содержание урана и тория при отношении $Th/U=6-9,5$. Амзачиманские гранитоиды близки к пятому типу—бедных как ураном, так и торием с Th/U отношением, равным 6. На фиг. 1 выделены типы щелочных пород Армянской ССР по содержанию урана и тория.

Таблица 2

Средние составы радиоэлементов в щелочных породах Центральной Армении

Главные типы пород	Содержание в весовых %			Th/U
	U	Th	Ra	
Эффузивные щелочные породы				
Калиевый щелочный базальт	1,0 · 10 ⁻⁴	1,0 · 10 ⁻³	—	10,0
Щелочной трахиандезит	2,0 · 10 ⁻⁴	1,0 · 10 ⁻³	—	5,0
Щелочной трахит	3,0 · 10 ⁻⁴	2,0 · 10 ⁻³	—	6,7
Лейцитовый фонолит	4,0 · 10 ⁻⁴	3,0 · 10 ⁻³	—	7,5
Интузивные щелочные породы				
Псевдолейцитовые сиениты	5,0 · 10 ⁻⁴	3,25 · 10 ⁻³	1,78 · 10 ⁻⁹	6,5
Нефелиновые сиениты	4,0 · 10 ⁻⁴	3,0 · 10 ⁻³	1,1 · 10 ⁻⁹	7,5
Щелочные сиениты — центр. шток	4,5 · 10 ⁻⁴	2,5 · 10 ⁻³	1,35 · 10 ⁻⁹	5,5
Щелочные сиениты — конич. инт.	2,5 · 10 ⁻⁴	2,25 · 10 ⁻³	н. обн.	11,0
Субщелочные сиениты	3,0 · 10 ⁻⁴	2,5 · 10 ⁻³	—	7,0
Нордмаркиты	2,5 · 10 ⁻⁴	2,5 · 10 ⁻³	—	10,0
Кварцевые сиениты	2,0 · 10 ⁻⁴	2,0 · 10 ⁻³	н. обн.	10,0
Граносиениты	2,5 · 10 ⁻⁴	1,5 · 10 ⁻³	1,0 · 10 ⁻⁹	6,0
Вогезит-порфиры	2 · 10 ⁻⁴	3 · 10 ⁻³	—	15,0
Среднее по комплексу	3,75 · 10 ⁻⁴	2,75 · 10 ⁻³	1,2 · 10 ⁻⁹	7,5



Фиг. 1. Радиохимические поля щелочных комплексов Армянской ССР.

I. Тежсарский щелочный эфузивный комплекс. II. Гарнасарский массив. III Бундуцкий массив. IV. Тежсарский щелочный интрузивный комплекс. V. Мегринский щелочный комплекс. VI. Баргушатские щелочные породы. VII Субщелочные гранитоиды Амзачиманского массива.

Для понимания геохимии урана и тория в щелочных породах важное значение имеет распределение этих элементов по минералам. В табл. 3 приведены результаты многочисленных химических анализов минералов как главных породообразующих, так и акцессорных из пород и пегматитов.

При рассмотрении содержаний радиоэлементов в главных породообразующих минералах привлекает внимание несколько пониженный, по сравнению с щелочными породами, порядок содержания урана и тория в плагиоклазах, содалите, гастингсите, эгирии-авгите (0,0001—0,0002% урана, следы тория). В то же время, в калишпатах и псевдолейцитовых выделениях содержания урана и тория идентичны таковому в породе. Несомненный интерес представляет почти двукратное, по сравнению с породами, обогащение нефелина ураном (0,0008—0,001%) при пониженном содержании тория (0,001%). Как правило, одноименные минералы из пегматитов более обогащены радиоэлементами. Из породообразующих минералов наиболее обогащены радиоэлементами биотиты (0,0023% U, 0,0002% тория). Отношение Th/U в породообразующих минералах очень низкое—0—2,5. В магнетите из пород 0,0002% урана и 0,0005% тория, в то же время магнетиты из пегматитов содержат 0,0019% урана и 0,001% тория.

Акцессорные минералы щелочных пород являются основными концентраторами урана и главными минералами-носителями тория. Среди них выделяются такие распространенные минералы, как меланит, сфен, флюорит, апатит, циркон. В меланитах—0,0021—0,0023% урана, 0,004% тория, в сфенах—0,0013—0,024% урана и 0,016—0,03% тория. Содержание радиоэлементов в флюоритах крайне изменчивое. В отличие от других минералов из пегматитов флюориты характеризуются низкими содержаниями радиоактивных элементов. Наименьшее содержание присуще флюоритам из зон измененных пород. Содержание урана в флюоритах—0,0051—0,0009%, тория—0,01—0,001%. Из других кальциевых минералов отметим ортит из щелочных пород (0,0024% U и 1,28% Th) и апатит (0,003% U и 0,010% Th), причем ортит из граносиенитов крайне беден ураном— $1,4 \cdot 10^{-3}$ и торием—0,21%. Наиболее обогащенными ураном и торием являются циркониевые, tantalо-ниобиевые и редкоземельные минералы (1—3% урана и тория) и редко встречающиеся торит, ураноторит и торианит. Меланиты и флюориты характеризуются меньшим торий-урановым отношением (1—3,6), чем сфены, цирконы, апатиты и др. (10—37). Из этого явствует, что главная масса тория пород связана с акцессориями, в то время как большая часть урана приходится на породообразующие минералы.

Приближенные подсчеты показывают, что в безнефелиновых сиенитах на калишпат приходится 50—60% общего содержания урана в породах, на плагиоклаз—5%, темноцветные—10—15%, а остальная часть—30—45% приходится на акцессорные минералы. Только 10% тория приходится на темноцветные минералы породы, остальные 90% связаны с меланитом, сфеном, цирконом и более редким монацитом. В нефелиновых и псевдолейцитовых сиенитах 40—50% урана связано с нефелином, 30—40%—с полевыми шпатами, а остальные 20—30% приходятся на темноцветные и акцессорные минералы. Распределение тория аналогично—главная масса (85—95%) связана с акцессориями. В субщелочных гранитах главная масса урана (около 50—75%) приходится на калишпат и биотит, а тория—на ортит (60—65%) и кальциевые акцессории.

Таблица 3

Содержание урана и тория в минералах из пород пегматитов щелочного комплекса*

№ образцов	Минералы	Количество анализов	Содержание в %		О отношение Th/U
			урана	тория	
Пордообразующие					
T-8П	Олигоклаз-альбит	2	0,0001	не обн.	—
T-28к	Калиевый полевой шпат	2	0,0004	0,0005	1,25
T-30и	Нефелин из пород	1	0,0008	не обн.	—
T-35и	Нефелин из пегматита	1	0,0009	0,001	1,1
T-37и	Полевой шпат — нефелин	1	0,0010	0,001	1,0
T-3з	Псевдолейцит	1	0,0004	0,001	2,5
T-37с	Содалит	1	0,0001	следы	—
T-33б	Биотит	1	0,0023	0,002	0,9
T-23а	Гастингсит из пород	2	0,0002	следы	—
T-8а	Гастингсит из пегматита	2	0,0003	не обн.	—
T-16з	Эгирий-авгит	1	0,0001	не обн.	—
T-28ч	Аксессорные				
T-21м	Магнетит из пород	1	0,0002	0,0005	2,5
T-21м	Магнетит из пегматита	2	0,0019	0,001	0,5
T-1ш	Меланит из пород	2	0,0023	0,004	1,8
T-30ш	Меланит из пегматита	1	0,0021	0,004	1,9
T-30ф	Флюорит из пород	1	0,0051	0,010	2,0
T-5ф	Флюорит из пегматита	1	0,0025	0,009	3,6
T-33ф	Флюорит из зоны	1	0,0009	0,001	1,1
T-19с	Сфен из пород	2	0,0013	0,016	12,3
I-21с	Сфен из пегматита	2	0,024	0,030	12,5
T-7а	Апатит из пород	1	0,003	0,010	37,0
T-34ц	Циркон из пород	3	0,042	0,45	10,6
T-16и	Циртолит из пород	1	3,0	1,0	0,33
T-4 5	Тантало-ниобаты из пегматита	5	1—3	3—5	3—4
O-1г	Ортит из нефелиновых сиенитов	2	0,0024	1,28	533,0
	Ортит из граносиенитов	1	0,014	0,21	150,0
T-2	Монашит из пород	1	0,3	3,0	10,0
T-12	Редкоземельные минералы	8	0,3—1	0,3—3	3—10

* Анализы выполнены в лаборатории УГ при СМ Арм. ССР, зав. лабораторией И. Атояни. Уран определялся уранометрическим методом. Точность $\pm 25\%$. Чувствительность 0,0001%. Торий — весовым методом (Остроумова). Точность $\pm 15\%$. Чувствительность — 0,001%.

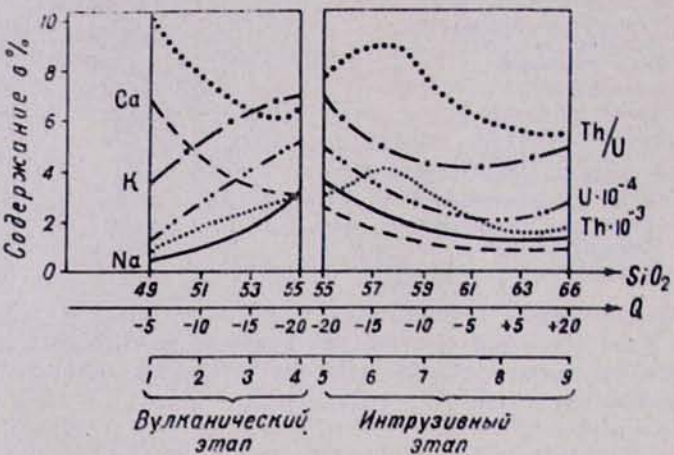
Вопрос о формах нахождения урана в пордообразующих минералах еще далек от своего решения. Специальные исследования установили около 6 форм нахождения (Д. Нейерберг, 1955; Смыслов, 1958; Л. В. Таусон, 1959 и др.), причем главная его масса находится в легко-подвижной неизоморфной форме (адсорбированное состояние, атомарное рассеяние и импрегнации). Формы нахождения урана и тория в аксессорных минералах более определены. Близость ионных радиусов тория (Th^{+4} — 1,01 Å) и урана (U^{+4} — 1,05 Å), с одной стороны, Zr^{+4} (0,87 Å), Y^{+3} (1,06 Å), Ce^{+3} (1,05 Å) — с другой и последних с кальцием (Ca^{+2} — 1,03 Å) обуславливает вхождение радиоэлементов в структуры кальциевых, редкоземельных и циркониевых минералов, причем компенсационный гетеровалентный изоморфизм имеет «непечечный» характер: в кальцийсодержащих минералах сначала Ca замещается Ce^{+3} , затем Y^{+3} и далее Th^{+4} , U^{+4} , с компенсацией Na^{+1} , OH , P , F и др.

Поведение урана и тория в ходе формирования Тежсарского вулкано-плутонического комплекса

Тежсарский вулкано-плутонический щелочногомагматический комплекс представляет тот редкий случай, когда поведение урана и тория можно проследить в ходе эволюции щелочногомагматической магмы от вулканического этапа к интрузивному, вплоть до конечных продуктов — субщелочных гранитоидов.

На диаграмме (фиг. 2) показаны кривые поведения урана и тория, а также щелочей и извести в зависимости от своеобразного хода дифференциации с повышением кремнекислотности и понижением недосыщенности кремнеземом.

Ход дифференциации щелочногомагматической магмы в вулканический этап выражается в неуклонном возрастании радиоэлементов от ранних членов-тефритов и трахиандезитов к щелочным трахитам и фонолитам параллельно с повышением щелочности и резким падением CaO . Темпы увеличения содержаний урана и тория от начальных к конечным возрастают соответственно в 5 и 3 раза. Содержание урана и тория в щелочных оливиновых базальтах, как правило, выше, чем кларки для основных пород и основных лав геосинклинального этапа развития Севано-Ширакского синклиниория ($\text{U} = 0,6 \cdot 10^{-4}\%$; $\text{Th} = 0,4 \cdot 10^{-3}\%$) и других регионов, в частности Казахстана и Горного Алтая (Абрамович, Смыслов, 1968).



Фиг. 2. Геохимическое поведение урана, тория, калия, натрия и кальция в ходе эволюции Тежсарского щелочного вулкано-плутонического комплекса.

1. Кали-базальт.
2. Трахиандезит.
3. Щелочногомагматический трахит.
4. Эпилейцитовый фонолит.
5. Псевдолейцитовый снеинит.
6. Нефелиновый снеинит.
7. Щелочногомагматический снеинит.
8. Нордмарктит.
9. Граноснеинит.

Обогащенность щелочно-базальтовой магмы радиоэлементами, являющимися несовместимыми в геохимическом отношении, тесно связана с обогащенностью магмы калием. На наш взгляд, эта особенность щелочно-базальтовой магмы может быть объяснена процессами взаимодействия в гранитно-метаморфическом субстрате, что находит

подтверждение, в частности, в большей обогащенности промежуточных и конечных членов базальт-фонолитовой серии.

Дальнейшая эволюция остаточной лейцит-фонолитовой магмы в интрузивный этап протекает несколько своеобразно. С повышением SiO_2 и понижением щелочности и известковистости от псевдолейцитовых сиенитов к нефелиновым и далее к щелочным сиенитам содержание радиоэлементов снижается, достигая минимума в субщелочных гранитах поздней фазы. В интрузивный этап от нефелин-сиенитовой эвтектики к гранитной концентрация урана и тория понижается вдвое. Эта тенденция более резко проявлена соответственно в щелочных и гранитных пегматитах. Причину такого поведения радиоэлементов следует искать в поведении летучих и в первую очередь фтора, а также в поведении кристаллохимически тесно связанных с радиоэлементами редких земель, иттрия, ниобия и, вероятно, кальция.

В начальный этап интрузивного процесса кристаллизация протекает в условиях высокой щелочности и концентрации фтора, что значительно расширяет поля кристаллизации более кислых кристаллических фаз — щелочного амфиболя и биотита вместо авгита, что наряду с появлением редкоземельных кальциевых и титанониобиевых аксессорных минералов приводит к уходу значительной части урана и тория с продуктами ранней кристаллизации и обеднению ими остаточного подкисленного расплава. Таким образом, в ходе эволюции Тежсарского вулкано-плутонического комплекса максимальная концентрация урана и тория наступает к концу вулканического и к началу интрузивного этапа, что приводит к почти двукратному обогащению щелочных и нефелиновых сиенитов по сравнению с граносиенитами как ураном, так и торием.

В поздние стадии, в связи с проявлением автометасоматических процессов, происходит перераспределение и миграция урана и тория с обогащением мусковитизированных, альбитизированных разностей нефелиновых сиенитов, а также пород, богатых содалитом, канкринитом, анальцином и новообразованных аксессорных минералов: лопарита, ильменорутила, бритолита и др.

В поздние стадии наложения гидротермальных изменений вновь наблюдается увеличение концентрации урана и тория ($\text{Th}/\text{U}=5$).

Основные выводы

1. Нефелиновые и щелочные сиениты Тежсарского щелочного комплекса по сравнению с кларком в кислых породах более чем в 1,5—2 раза обогащены ураном ($3,75 \cdot 10^{-4} \%$), торием ($2,75 \cdot 10^{-3} \%$) и в 10 раз радием ($1,2 \cdot 10^{-9} \%$). Ассоциированные с щелочными породами граниты вдвое обогащены радиоэлементами.

2. По сравнению с другими регионами развития щелочных комплексов средние содержания урана и тория в Тежсаре близки к миаскитовым комплексам, но постоянно превышают по содержанию тория ($\text{Th}/\text{U}=7,5$).

3. Обогащенность Тежсарского щелочного вулкано-плутонического комплекса радиоэлементами, вариации в темпах возрастания от начальных и промежуточных членов к конечным в вулканический этап и обратная направленность в интрузивный этап свидетельствуют о процессах взаимодействия богатой калием базальтовой магмы с гранитно-метаморфическим субстратом:

4. В ходе эволюции щелочно-базальтоидной магмы накопление радиоэлементов происходит к концу вулканического и к началу интру-

зивного этапа. Максимальной концентрации радиоэлементы достигают при составе лейцитового фонолита — наиболее богатого калием.

5. В распределении радиоэлементов по минералам щелочных пород и гранитоидов наблюдается тенденция преимущественно накопления урана (50—75%) в нефелине и ортоклазе, в меньшей степени в акессориях, а тория — в кальциево-редкоземельных акессориях и темно-цветных минералах (60—85%), и лишь частично в полевых шпатах.

ЛИТЕРАТУРА

- Абрамович И. И., Смыслов А. А. Радиогеохимическая изученность горных пород территории Советского Союза. Сб.: «Материалы о содержании и распределении радиоэлементов в горных породах». Тр. ВСЕГЕИ, т. 142, 1968.
- Багдасарян Г. П. Интрузивы Памбако-Базумской области. «Геология Арм. ССР», т. IV. Изд. АН Арм. ССР, 1966.
- Багдасарян Г. П. Щелочные породы центральной части Армянской ССР. Сб. «Вопросы вулканизма». Изд. АН СССР, 1962.
- Билибина Т. В., Титов В. К. Уран и торий в щелочных породах юга Сибирской платформы. Сб.: «Материалы о содержании и распределении радиоэлементов в горных породах». Тр. ВСЕГЕИ, т. 142, 1968.
- Власов К. А., Еськова Е. М., Кузьменко М. Е. Ловозерский щелочный массив. Изд. АН СССР, 1958.
- Геворкян Р. Г. Новые данные о щелочных интрузиях Центральной Армении. ДАН Арм. ССР, № 2, 1964.
- Герасимовский В. И. Геохимия редких элементов Ловозерского щелочного массива. Сб. докл. сов. геологов на XXI международном геол. конгрессе. Изд. АН СССР, 1960.
- Еськова Е. М., Минеев Д. А., Минеева Н. Г. Уран и торий в щелочных породах Урала. Геохимия, № 2, 1962.
- Комлев Л. В. Некоторые вопросы геохимии урана и тория в гранитных магмах. Сб., посвященный В. И. Вернадскому, 1935.
- Котляр В. Н. Памбак. Изд. АН Арм. ССР, 1958.
- Леонов Л. Л., Гаврилли Р. Д. и др. Поведение урана и тория в интрузивном комплексе повышенной щелочности (Сев. Тянь-Шань). Геохимия, № 12, 1961.
- Меликсян Б. М. К геохимии урана и тория в некоторых гранитоидах юга Армянской ССР. Изв. АН Арм. ССР, сер. геол.-географ., № 5, 1961.
- Меликсян Б. М., Геворкян Р. Г. К вопросу о возрастных взаимоотношениях щелочных и гранитоидных интрузий Памбака. ДАН Арм. ССР, № 3, 1963.
- Нейрберг Д. Уран в изверженных породах США. Материалы международной конференции. Женева. Изд. ООН, 1955.
- Сапрыкина В. О. О распределении урана в щелочных породах Ловозерского щелочного массива. Геохимия, № 5, 1959.
- Смыслов А. А. Радиоактивные элементы в изверженных горных породах Северного Казахстана. Геохимия, № 8, 1958.
- Таусон Л. В. Геохимия редких элементов в гранитоидах. Изд. АН СССР, 1962.